

## §11. Соответствия на прямых и кониках

**11.1. Гомографии.** Многие геометрические задачи так или иначе связаны с соответствиями между точками одной проективной прямой и точками другой проективной прямой, такими что координаты соответственных точек алгебраически выражаются друг через друга. Простейшими такими соответствиями являются рациональные биекции, или *гомографии*.

### ЛЕММА 11.1

Если над алгебраически замкнутым полем  $\mathbb{k}$  имеется биективное отображение

$$\varphi : \mathbb{P}_1 \setminus \{\text{конечное множество}\} \xrightarrow{\sim} \mathbb{P}_1 \setminus \{\text{конечное множество}\},$$

которое в некоторой аффинной карте с аффинной координатой  $t$  может быть задано формулой

$$t \mapsto \varphi(t) = g(t)/h(t), \quad \text{где } g, h \in \mathbb{k}[t], \quad (11-1)$$

то  $\varphi$  являетсядробно линейным изоморфизмом (и, в частности, однозначно продолжается на всю прямую).

**ДОКАЗАТЕЛЬСТВО.** В однородных координатах  $(x_0 : x_1)$ , для которых  $t = x_0/x_1$ , формула (11-1), задающая отображение  $\varphi$ , может быть переписана<sup>1</sup> в виде

$$\varphi : (x_0 : x_1) \mapsto (F(x_0, x_1) : G(x_0, x_1)),$$

где  $F$  и  $G$  не пропорциональные друг другу однородные многочлены от  $(x_0, x_1)$  одинаковой степени  $d = \deg F = \deg G$ . Обозначим проективизацию пространства однородных многочленов степени  $d$  от  $(x_0, x_1)$  через  $\mathbb{P}_d$ . Если точка  $\vartheta = (\vartheta_0 : \vartheta_1) \in \mathbb{P}_1$  имеет при отображении  $\varphi$  ровно один прообраз, то однородный многочлен  $\vartheta_1 \cdot F(x_0, x_1) - \vartheta_0 \cdot G(x_0, x_1)$  имеет на  $\mathbb{P}_1$  ровно один корень  $x = \varphi^{-1}(\vartheta)$ , который над алгебраически замкнутым полем  $\mathbb{k}$  автоматически является  $d$ -кратным, так что соответствующая точка  $\vartheta_1 F(x) - \vartheta_0 G(x)$  лежит в на кривой Веронезе  $C_d \subset \mathbb{P}_d$  из прим. 9.4 на стр. 158. Поскольку поле  $\mathbb{k}$  бесконечно, а отображение  $\varphi$  биективно вне конечного множества точек, кривая  $C_d$  и прямая  $(F, G) \subset \mathbb{P}_d$  имеют бесконечно много точек пересечения. Но в (прим. 9.4) мы видели, что при  $d \geq 2$  никакие три точки кривой  $C_d$  не лежат на одной прямой. Поэтому  $d = 1$  и  $\varphi \in \mathrm{PGL}_2(\mathbb{k})$ .  $\square$

#### 11.1.1. Геометрическая классификация гомографий.

Пусть прямые

$$\ell_1, \ell_2 \subset \mathbb{P}_2$$

---

<sup>1</sup>возможно, после некоторой модификации конечного множества, на котором отображение  $\varphi$  не определено

пересекаются в точке  $q = \ell_1 \cap \ell_2$ , и пусть дробно линейный изоморфизм

$$\varphi : \ell_1 \xrightarrow{\sim} \ell_2$$

переводит три различные точки  $a_1, b_1, c_1 \in \ell_1$ , отличные от  $q$ , в точки  $a_2, b_2, c_2 \in \ell_2$ . Тогда возможны два случая, представленные на рис. 11◦1 и рис. 11◦2: либо три прямые  $(a_1, a_2)$ ,  $(b_1, b_2)$  и  $(c_1, c_2)$ , соединяющие соответственные точки, проходят через одну точку  $p$ , либо — не проходят через одну точку.

В первом случае  $\varphi$  является центральной проекцией из точки  $p$  и переводит точку  $x \in \ell_1$  в точку  $\ell_2 \cap (p, x)$ . Действительно, такая проекция удовлетворяет условиям леммы (лем. 11.1), т. е. является дробно линейным изоморфизмом из  $\ell_1$  в  $\ell_2$ , и совпадает с  $\varphi$  на трёх точках  $a_1, b_1, c_1$ . Такая гомография называется *перспективой* с центром в  $p$  и обозначается  $\gamma_p$ .

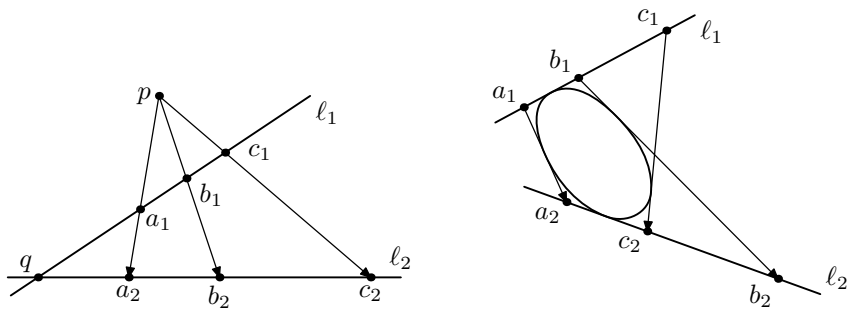


Рис. 11◦1. Перспектива  $\gamma_p$ .

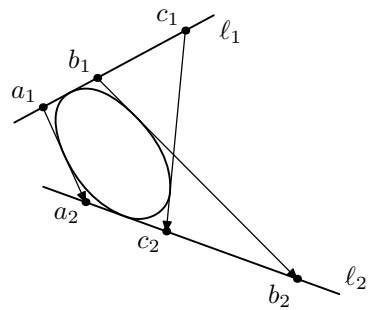


Рис. 11◦2. Гомография  $\gamma_C$ .

Во втором случае никакие три из прямых  $\ell_1, \ell_2$  и  $(a_1, a_2), (b_1, b_2), (c_1, c_2)$  не пересекаются в одной точке. По следствию (сл. 10.7) существует единственная (автоматически гладкая) коника  $C$ , касающаяся всех пяти этих прямых. Преобразование  $\gamma_C : \ell_1 \longrightarrow \ell_2$ , переводящее точку  $x \in \ell_1$  в точку пересечения  $\ell_x \cap \ell_2$ , где  $\ell_x$  — отличная от  $\ell_1$  касательная, опущенная из  $x$  на  $C$ , является дробно линейным изоморфизмом  $\ell_1$  на  $\ell_2$ , поскольку оно биективно и в координатах задаётся рациональной алгебраической формулой: уравнения двух касательных, опущенных из  $x$  на  $C$  — это точки пересечения двойственной коники  $C^\times \subset \mathbb{P}_2^\times$  с прямой  $x^\times = \text{Ann}(x)$ ; одна из них — уравнение прямой  $\ell_1$  — дана, так что вторая — уравнение прямой  $(x, y)$  — рационально через неё выражается. Так как  $\gamma_C$  и  $\varphi$  одинаков действуют на  $a_1, b_1, c_1$ , имеем равенство  $\varphi = \gamma_C$ . Отметим, что  $\gamma_C(\ell_1 \cap C) = q$  и  $\gamma_C(q) = \ell_2 \cap C$ .

Итак, каждая гомография либо является перспективой  $\gamma_p$ , либо вы секается семейством касательных к некоторой гладкой конике, т. е. имеет вид  $\gamma_C$ . В обоих случаях центр  $p$  и коника  $C$  определяются по гомографии *однозначно*. Перспектива может рассматриваться как вырожденный случай гомографии  $\gamma_C$ , отвечающей особой конике  $C$ , распавшейся в объединение двух прямых, пересекающихся в центре перспективы (сами прямые могут в этом случае

выбираться многими способами — подойдут любые две прямые, соединяющие соответственные точки гомографии).

**УПРАЖНЕНИЕ 11.1.** Покажите, что гомография  $\varphi : \ell_1 \xrightarrow{\sim} \ell_2$  является перспективной тогда и только тогда, когда она переводит точку пересечения прямых  $\ell_1 \cap \ell_2$  в себя.

**11.1.2. Перекрёстная ось гомографии.** Гомография  $\varphi : \ell_1 \xrightarrow{\sim} \ell_2$ , переводящая три различные точки  $a_1, b_1, c_1 \in \ell_1 \setminus \ell_2$  в точки  $a_2, b_2, c_2 \in \ell_2$  является композицией  $\varphi = \gamma_{b_1} \circ \gamma_{b_2}$  перспективы  $\gamma_{b_2} : \ell_1 \longrightarrow \ell$  и перспективы  $\gamma_{b_1} : \ell \longrightarrow \ell_2$ , где прямая  $\ell$  соединяет точки пересечения двух пар «перекрёстных» прямых  $(a_1, b_2) \cap (b_1, a_2)$  и  $(c_1, b_2) \cap (b_1, c_2)$  (см. рис. 11◦3).

**УПРАЖНЕНИЕ 11.2.** Убедитесь, что  $\varphi$  и  $\gamma_{b_1} \circ \gamma_{b_2}$  одинаково действуют на  $a_1, b_1, c_1$ . Из этого равенства вытекает, что  $(b_1, \varphi(x)) \cap (x, b_2) \in \ell$  для любого  $x \in \ell_1$ , что позволяет одной линейкой построить образ  $\varphi(x)$  любой точки  $x \in \ell_1$ , если известно действие  $\varphi$  на какие-нибудь три точки (см. рис. 11◦3): проводим прямую  $\ell$  и берём в качестве  $\varphi(x)$  точку пересечения прямой  $\ell_2$  с прямой, соединяющей точки  $b_1$  и  $\ell \cap (x, b_2)$ .

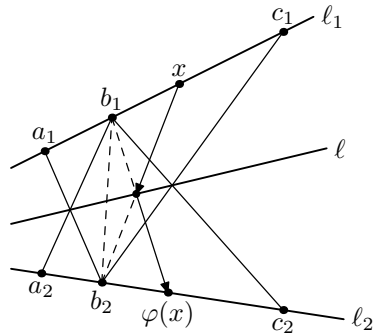


Рис. 11◦3.  $\varphi = \gamma_{b_1} \circ \gamma_{b_2}$ .

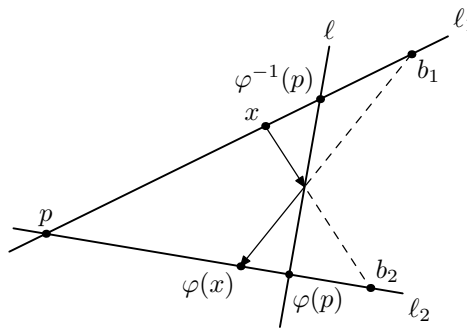


Рис. 11◦4.  $\varphi(\ell \cap \ell_1) = p$  и  $\varphi(p) = \ell \cap \ell_2$ .

В частности, полагая  $x = p = \ell_1 \cap \ell_2$ , получаем  $\varphi(p) = \ell \cap \ell_2 = \varphi(p)$ , а полагая  $x = \ell \cap \ell_1$ , получаем  $\varphi(\ell \cap \ell_1) = p$  (см. рис. 11◦4). Поэтому при  $\varphi(p) \neq p$  прямая  $\ell = (\varphi^{-1}(p), \varphi(p))$  не зависит от выбора точек  $a_1, b_1, c_1$  и является ГМТ пересечения *всевозможных* перекрёстных прямых  $(x, \varphi(y)) \cap (y, \varphi(x))$  с  $x, y \in \ell_1$ . По этой причине она называется *перекрёстной осью* дробно линейного изоморфизма  $\varphi$ .

**УПРАЖНЕНИЕ 11.3.** Покажите, что у перспектив (т. е. таких  $\varphi$ , что  $\varphi(p) = p$ ) перекрёстная ось тоже имеется и проходит через  $p = \ell_1 \cap \ell_2$ .

**11.1.3. Двойственный язык: гомографии между пучками.** Гомография  $\varphi : \ell_1 \longrightarrow \ell_2$  между прямыми  $\ell_1 = \text{Ann}(p_1)$  и  $\ell_2 = \text{Ann}(p_2)$ , лежащими на двойственной плоскости  $\mathbb{P}_2^\times$ , в терминах исходной плоскости  $\mathbb{P}_2$  является дробно линейным изоморфизмом пучка прямых  $p_1^\times$ , проходящих через точку  $p_1 = \text{Ann}(\ell_1) \in \mathbb{P}_2$  с пучком прямых  $p_2^\times$ , проходящих через точку  $p_2 = \text{Ann}(\ell_2) \in \mathbb{P}_2$ . Точки  $a_1, b_1, c_1 \in \ell_1$  превращаются при этом в прямые  $a_1^\times, b_1^\times, c_1^\times$  из пучка  $p_1^\times$ , а их образы  $a_2, b_2, c_2 \in \ell_2$  — в прямые  $a_2^\times, b_2^\times, c_2^\times$  из пучка  $p_2^\times$ .

Гомография между пучками прямых  $p_1^\times$  и  $p_2^\times$  на  $\mathbb{P}_2$  однозначно задаётся тремя точками  $a = a_1^\times \cap a_2^\times = (a_1, a_2)^\times$ ,  $b = b_1^\times \cap b_2^\times = (b_1, b_2)^\times$ ,  $c = c_1^\times \cap c_2^\times = (c_1, c_2)^\times$  и переводит прямые  $(p_1, a)$ ,  $(p_1, b)$ ,  $(p_1, c) \in p_1^\times$  в прямые  $(p_2, a)$ ,  $(p_2, b)$ ,  $(p_2, c) \in p_2^\times$  (см. рис. 11◦6). Мы будем обозначать такую гомографию  $\gamma_{abc}$ .

УПРАЖНЕНИЕ 11.4. Убедитесь, что никакие 4 из пяти точек  $p_1, p_2, a, b, c$  не лежат на одной прямой.

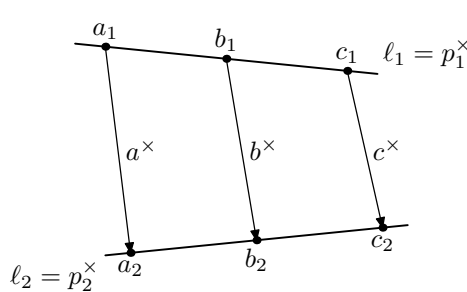


Рис. 11◦5. Гомография на  $\mathbb{P}_2^\times$ .

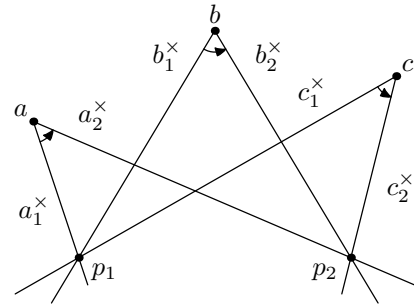


Рис. 11◦6. Гомография  $p_1^\times \xrightarrow{\gamma_{abc}} p_2^\times$  пучков на  $\mathbb{P}_2$ .

Через точки  $p_1, p_2, a, b, c$  проходит единственная коника  $C$ . Если точки  $a, b, c$  коллинеарны (как на рис. 11◦7) или одна из точек  $a, b, c$  попала на прямую  $(p_1, p_2)$ , то коника  $C$  распадается в объединение прямой  $(p_1, p_2)$  и ещё одной прямой  $\ell$ . В этом случае  $\gamma_{abc}$  переводит прямую  $(p_1, x)$  с  $x \in \ell$  в прямую  $(p_2, x)$  (см. рис. 11◦7), и соответствующая гомография  $\varphi : \ell_1 \longrightarrow \ell_2$  на  $\mathbb{P}_2^\times$  является перспективой с центром в точке  $\ell^\times \in \mathbb{P}_2^\times$ . Мы будем обозначать такой изоморфизм  $\gamma_{abc}$  через  $\gamma_\ell : p_1^\times \longrightarrow p_2^\times$ .

УПРАЖНЕНИЕ 11.5. Убедитесь, что  $C = \ell \cup (p_1, p_2) \iff \gamma_{abc}((p_1, p_2)) = (p_1, p_2)$ .

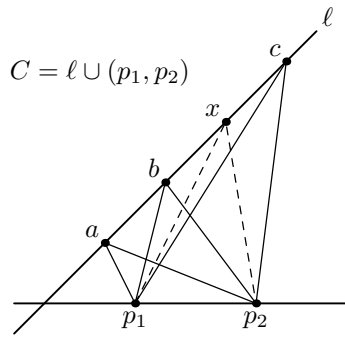


Рис. 11◦7.  $\gamma_{abc} = \gamma_C$ .

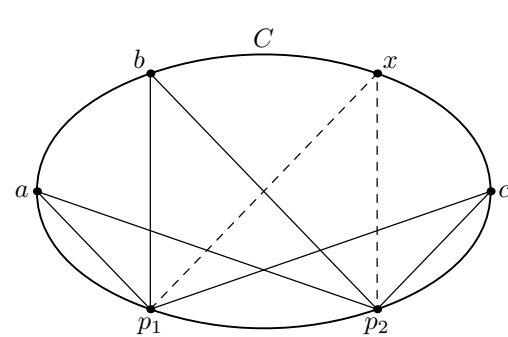


Рис. 11◦8.  $\gamma_{abc} = \gamma_\ell$ .

В общем же случае коника  $C$  невырождена, и  $\varphi : p_1^\times \longrightarrow p_2^\times$  переводит прямую  $(p_1, x)$  с  $x \in C$  в прямую  $(p_2, x)$  (см. рис. 11◦8). Мы будем обозначать такую гомографию пучков через  $\gamma_C$ . Отметим, что  $\gamma_C((p_1, p_2)) = T_{p_2}C$  и  $\gamma_C(T_{p_1}C) =$

$(p_1, p_2)$ . На двойственной плоскости  $\mathbb{P}_2^\times$  соответствующее преобразование вы секается касательными к двойственной конике:  $\varphi = \gamma_{C^\times} : \ell_1 \longrightarrow \ell_2$ .

Подчеркнём, что как прямая  $\ell$ , так и коника  $C$  однозначно определяются по гомографии  $\gamma_{abc} : p_1^\times \longrightarrow p_2^\times$  как ГМТ пересечения соответственных прямых  $\ell' \cap \gamma_{abc}(\ell')$ , где  $\ell'$  пробегает пучок  $p_1^\times$ .

УПРАЖНЕНИЕ 11.6. Покажите, что для любого дробно линейного изоморфизма  $\varphi : p_1^\times \longrightarrow p_2^\times$  существует точка, в которой пересекаются все прямые, соединяющие пары точек пересечений  $\ell' \cap \varphi(\ell'')$  и  $\ell'' \cap \varphi(\ell')$ , где  $\ell', \ell'' \in p_1^\times$ .

**11.1.4. Гомографии параметризованных пучков.** Пучок прямых с центром в точке  $p_1$  можно запараметризовать точками какой-нибудь не проходящей через  $p_1$  прямой  $\ell_1$ , сопоставляя каждой каждой точке  $x \in \ell_1$  прямую  $(p_1, x)$ . Аналогично, пучок прямых  $p_2^\times$  можно запараметризовать точками какой-нибудь прямой  $\ell_2 \not\ni p_2$ . После этого любую гомографию  $\varphi : \ell_1 \longrightarrow \ell_2$  можно воспринимать как гомографию между пучками  $\varphi : p_1^\times \longrightarrow p_2^\times$ , и наоборот.

Таким образом, для любой гомографии  $\varphi : \ell_1 \longrightarrow \ell_2$  и любой пары точек  $p_1, p_2 \notin \ell_1 \cup \ell_2$  ГМТ пересечения соответственных прямых  $(p_1, x) \cap (p_2, \varphi(x))$ , где  $x$  пробегает  $\ell_1$ , является либо гладкой коникой  $C$ , проходящей через точки  $p_1$  и  $p_2$ , либо некоторой прямой  $\ell$ . Последнее равносильно тому, что  $\varphi((p_1, p_2) \cap \ell_1) = (p_1, p_2) \cap \ell_2$ , и может восприниматься как вырождение первого, отвечающее распавшейся конике  $C = \ell \cup (p_1, p_2)$ .

Иными словами, всякая гомография

$$\varphi : \ell_1 \longrightarrow \ell_2$$

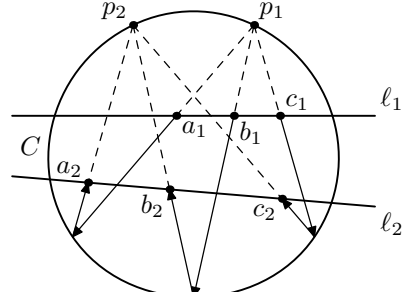


Рис. 11◦9. Гомография

$\gamma_{p_2 C p_1}$ .

раскладывается (многими способами) в композицию проекции прямой  $\ell_1$  на некоторую конику  $C$  из точки  $p_1 \in C$  и, затем, проекции коники  $C$  на  $\ell_2$  из другой точки  $p_2 \in C$  (см. рис. 11◦8). Мы будем обозначать такую композицию через

$\gamma_{p_2 C p_1} : \ell_1 \longrightarrow \ell_2$ .

УПРАЖНЕНИЕ 11.7. Покажите, что для любой гомографии  $\varphi : \ell_1 \longrightarrow \ell_2$  точки  $p_1$  и  $p_2$  всегда можно подобрать так, чтобы в разложении  $\varphi = \gamma_{p_2 C p_1}$  коника  $C$  была гладкой.

### ПРИМЕР 11.1 (ВПИСАННО-ОПИСАННЫЕ ТРЕУГОЛЬНИКИ)

Покажем, что два треугольника  $A_1B_1C_1$  и  $A_2B_2C_2$  вписаны в одну и ту же гладкую конику  $Q'$ , если и только если они описаны вокруг одной и той же гладкой коники  $Q''$ . Поскольку эти две импликации проективно двойственны друг другу, достаточно проверить только одну из них. Пусть 6 точек  $A_1, B_1, C_1, A_2, B_2, C_2$  лежат на одной конике  $Q'$  (см. рис. 11◦10). Гомография  $\gamma_{C_1 Q' C_2} : (A_1 C_1) \longrightarrow (A_2 C_2)$  переводит  $A_1 \mapsto M, K \mapsto B_2, L \mapsto A_2, B_1 \mapsto N$  и не является перспективой. Значит, она задаётся семейством касательных к

некоторой гладкой конике  $Q''$ , которая вписана в оба треугольника, что и требовалось.

Отметим, что если пара коник  $Q'$  и  $Q''$  такова, что существует хоть один треугольник  $A_1B_1C_1$ , одновременно вписанный в  $Q'$  и описанный около  $Q''$ , то такой же треугольник  $A_2B_2C_2$  (одновременно вписанный в  $Q$  и описанный около  $Q'$ ) можно нарисовать стартовав с любой точки  $A_2 \in Q'$ .

В самом деле, проведём из  $A_2$  две касательных  $(A_2B_2)$  и  $(A_2C_2)$  к конике  $Q''$  до их пересечения с  $Q'$  в точках  $B_2, C_2 \in Q'$ , как на рис. 11◦10. По доказанному, треугольники  $A_1B_1C_1$  и  $A_2B_2C_2$  будут описаны вокруг некоторой коники, а поскольку существует лишь одна коника, касающаяся пяти прямых  $(AB), (BC), (CA), (A_2B_2), (A_2C_2)$ , эта коника и есть  $Q''$ .

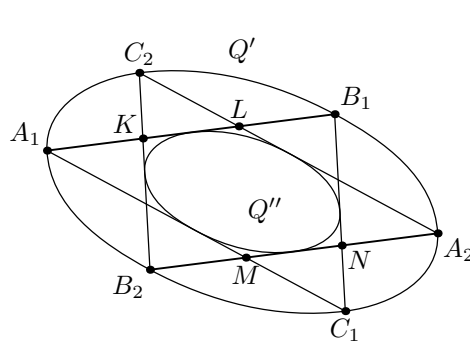


Рис. 11◦10. Вписанно-описанные треугольники.

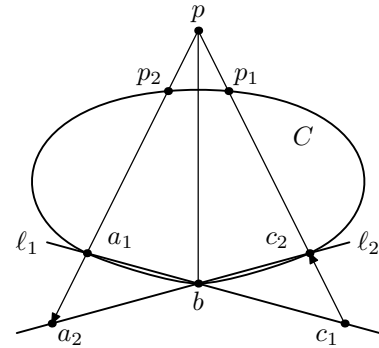


Рис. 11◦11.  $\gamma_p = \gamma_{p2}Cp_1$ .

**11.2. Гексограмма Паскаля.** Перспектива  $\gamma_p : \ell_1 \longrightarrow \ell_2$  (т. е. проекция  $\ell_1$  на  $\ell_2$  из точки  $p \notin \ell_1 \cup \ell_2$ ) представляется в виде  $\gamma_p = \gamma_{p2}Cp_1$ , как показано на рис. 11◦11: проведём любую конику  $C$  через точку пересечения  $b = \ell_1 \cap \ell_2$  и любые две точки  $a_1 \in \ell_1$  и  $c_2 \in \ell_2$ , отличные от  $b$ , и возьмём  $p_1 = (pc_2) \cap C$  и  $p_2 = (pa_1) \cap C$ . Из рис. 11◦11 очевидно, что  $\gamma_{p2}Cp_1$  и  $\gamma_p$  одинаково действуют на три точки  $a_1, b$  и  $c_1$ . Равенство  $\gamma_p = \gamma_{p2}Cp_1$  имеет много замечательных следствий.

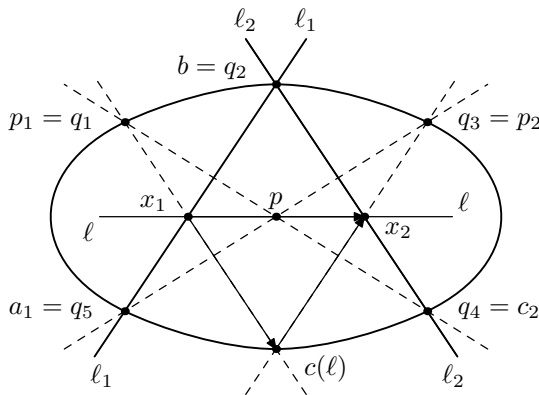


Рис. 11◦12. Построение коники линейкой.

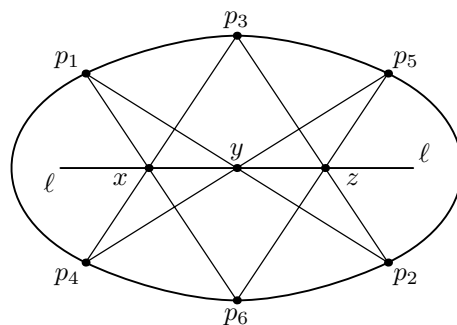


Рис. 11◦13. Гексограмма Паскаля.

## ПРИМЕР 11.2 (ПОСТРОЕНИЕ КОНИКИ ЛИНЕЙКОЙ)

Если заданы пять точек  $q_1, q_2, \dots, q_5$ , никакие 3 из которых не коллинеарны, то при помощи линейки можно эффективно построить сколь угодно плотное множество точек на проходящей через эти пять точек конике  $C$  (см. рис. 11◦12).

А именно, приведём рис. 11◦12 и рис. 11◦11 в соответствие друг с другом, полагая  $p_1 = q_1$ ,  $p_2 = q_3$ ,  $b = q_2$ ,  $a_1 = q_5$ ,  $c_2 = q_5$ . Тогда проекция прямой  $\ell_1 = (q_2, q_5) = (a_1, b)$  на прямую  $\ell_2 = (q_2, q_4) = (b, c_2)$  из точки  $p = (q_1 q_4) \cap (q_3 q_5)$  будет совпадать с композицией проекции  $\gamma_{q_1} : \ell_1 \xrightarrow{\sim} C$  и проекции  $\gamma_{q_3} : C \xrightarrow{\sim} \ell_2$ . Поскольку для любой прямой  $\ell$ , проходящей через  $p$ , точка  $x_1 = \ell \cap \ell_1$  переводится при этом в точку  $x_2 = \ell \cap \ell_2$ , точка пересечения прямых  $(x_1 q_1) \cap (x_2 q_3) \in C$  лежит на  $C$ , и ровно один раз пробежит  $C$ , когда  $\ell$  пробежит пучок прямых, проходящих через  $p$ .

## ТЕОРЕМА 11.1 (ТЕОРЕМА ПАСКАЛЯ)

Шесть точек  $p_1, p_2, \dots, p_6$  тогда и только тогда лежат на одной конике, когда коллинеарны три точки  $x = (p_3 p_4) \cap (p_6 p_1)$ ,  $y = (p_1 p_2) \cap (p_4 p_5)$  и  $z = (p_2 p_3) \cap (p_5 p_6)$ , в которых пересекаются пары «противоположных сторон» шестиугольника  $p_1, p_2, \dots, p_6$  (см. рис. 11◦13 и рис. 11◦14).

**ДОКАЗАТЕЛЬСТВО.** Сопоставляя рис. 11◦13 с рис. 11◦12 видим, что если точки  $x, y, z$  коллинеарны, то точка  $p_6 = (p_1 x) = (p_5 z)$  лежит на конике  $C$ , проходящей через точки  $p_1, p_2, \dots, p_5$ , поскольку точка  $z$  является в этом случае образом точки  $x$  при центральной проекции прямой  $\ell_1 = (p_3 p_4)$  на прямую  $\ell_2 = (p_3 p_2)$  из точки  $y$ , а эта проекция раскладывается в композицию проекций  $\gamma_{p_1} : \ell_1 \xrightarrow{\sim} C$  и проекции  $\gamma_{p_5} : C \xrightarrow{\sim} \ell_2$ . Наоборот, если все шесть точек  $p_1, p_2, \dots, p_6$  лежат на некоторой конике  $C$ , то точка  $z$  является образом точки  $x$  при гомографии  $\gamma_C^{p_5 p_1} : \ell_1 \xrightarrow{\sim} \ell_2$ , а поскольку эта гомография совпадает с проекцией  $\gamma_y : \ell_1 \xrightarrow{\sim} \ell_2$ , точка  $z$  лежит и на прямой  $\ell = (xy)$ .  $\square$

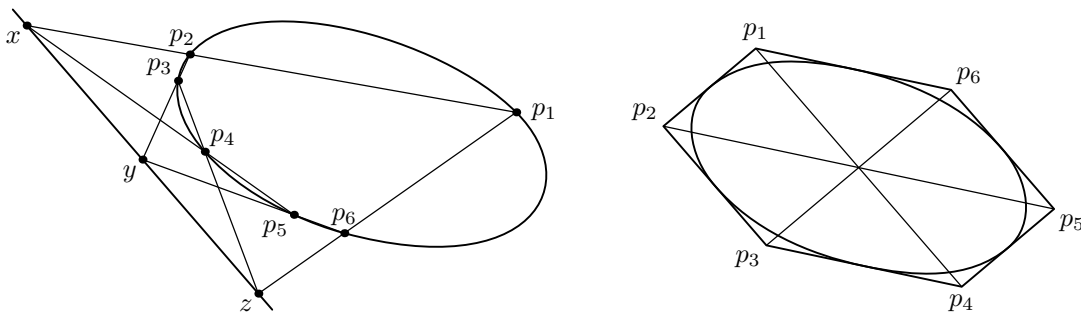
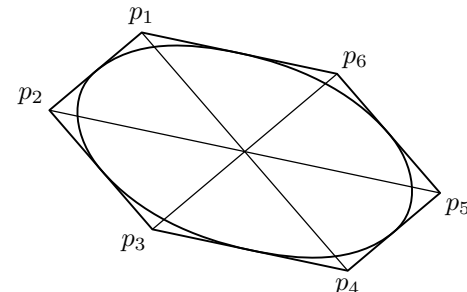


Рис. 11◦14. Вписанный шестиугольник. Рис. 11◦15. Описанный шестиугольник.



**Следствие 11.1 (теорема Брианшона)**

6-угольник  $p_1, p_2, \dots, p_6$  тогда и только тогда описан вокруг некоторой коники, когда его главные диагонали  $(p_1p_4), (p_2p_5), (p_3p_6)$  пересекаются в одной точке (см. рис. 11◊15).

Доказательство. Эта теорема проективно двойственна к теореме Паскаля.  $\square$

**11.3. Внутренняя геометрия гладкой коники.** Гладкую конику над алгебраически замкнутым полем продуктивно воспринимать как конику Веронезе (10-3) из прим. 10.1 на стр. 172. Это наделяет плоскость  $\mathbb{P}_2$  и конику рядом дополнительных структур, которые мы сейчас опишем.

Зафиксируем двумерное векторное пространство  $U$  и проективную прямую  $\mathbb{P}_1 = \mathbb{P}(U)$ . Она канонически отождествляется с двойственной прямой  $\mathbb{P}_1^\times = \mathbb{P}(U^*)$  при помощи линейного изоморфизма  $\det : \mathbb{P}_1 = \mathbb{P}(U) \xrightarrow{\sim} \mathbb{P}(U^*) = \mathbb{P}_1^\times$ , который сопоставляет точке  $a \in \mathbb{P}_1$  её аннулятор — одномерное подпространство в  $U^*$ , порождённое линейной формой  $\det(a, x) = a_0x_1 - x_1a_0 \in \mathbb{P}_1^\times$ . Это позволяет (при желании) свободно переходить с языка точек на язык форм и обратно.

Рассмотрим пространство  $S^2U^*$  квадратичных форм на  $U$  и пространство  $S^2U$  квадратичных форм на  $U^*$ . Если зафиксировать в  $U$  базис  $(e_0, e_1)$ , а в  $U^*$  — двойственный базис  $(x_0, x_1)$ , то пространство  $S^2U^*$  отождествляется с пространством однородных многочленов степени 2 от  $(x_0, x_1)$ , а пространство  $S^2U$  — с пространством однородных многочленов степени 2 от  $(e_0, e_1)$ . Над алгебраически замкнутым полем  $\mathbb{k}$  каждый элемент  $q \in S^2U^*$  является произведением двух линейных форм  $q = \varphi\psi$ , которые определяются по  $q$  однозначно с точностью до умножения на обратные друг другу константы — это линейные формы, обращающиеся в нуль в двух точках квадрики на  $\mathbb{P}_1$ , задаваемой уравнением  $q(x) = 0$ . Поэтому точки проективной плоскости  $\mathbb{P}_2^\times = \mathbb{P}_2(S^2U^*)$  можно воспринимать как неупорядоченные пары точек  $\{\varphi, \psi\} \subset \mathbb{P}_1^\times$ . Двойственным образом, каждая квадратичная форма  $w : U^* \longrightarrow \mathbb{k}$  является произведением  $w = ab$  двух векторов  $a, b \in U$  (рассматриваемых как линейные формы на  $U^*$ ), которые определяются по  $w$  однозначно с точностью до умножения на обратные друг другу константы, и точки проективной плоскости  $\mathbb{P}_2 = \mathbb{P}(S^2U)$  суть неупорядоченные пары точек  $\{a, b\} \subset \mathbb{P}_1$ .

Плоскости  $\mathbb{P}_2 = \mathbb{P}(S^2U)$  и  $\mathbb{P}_2^\times = \mathbb{P}(S^2U^*)$  на самом деле двойственны друг другу. Свёртка между  $q = \varphi\psi \in S^2U^*$  и  $w = ab \in S^2U$  задаётся формулой

$$\langle q, w \rangle = \tilde{q}(a, b) = \frac{1}{2} (\varphi(a)\psi(b) + \varphi(b)\psi(a)) = \tilde{w}(\varphi, \psi) \quad (11-2)$$

(поскольку  $\varphi, \psi$  и  $a, b$  определяются по  $q$  и  $w$  однозначно с точностью до умножения на обратные друг другу константы, результат зависит только от  $q$  и  $w$ ).

УПРАЖНЕНИЕ 11.8. Проверьте, что формула 11.2 действительно определяет для каждого ненулевого  $ab \in S^2U$  ненулевой линейный функционал  $ab$  на  $S^2U^*$ , при чём  $\forall a, b, c \in U$   $(a+b)c = ac + bc$  как линейные функционалы на  $S^2U^*$ . Покажите, что двойственным к стандартному базису  $(x_0^2, 2x_0x_1, x_1^2)$  в  $S^2U^*$  является базис  $(e_0^2, e_0e_1, e_1^2)$  (обратите внимание, что  $\langle x_0x_1, e_0e_1 \rangle = 1/2$ ).

Напомним, что на  $\mathbb{P}_2^\times$  есть коника Веронезе  $C_{\text{ver}}^\times$  — образ отображения Веронезе

$$\mathbb{P}_1^\times \xrightarrow{\varphi \mapsto \varphi^2} \mathbb{P}_2^\times,$$

состоящий из квадратичных форм  $q = \varphi^2$ , являющихся полными квадратами линейных. В базисе  $(x_0^2, 2x_0x_1, x_1^2)$ , где однородными координатами квадратичной формы  $q(x) = \sum q_{ij}x_i x_j$  являются отношения  $(q_{00} : q_{01} : q_{11})$  элементов её матрицы Грама

$$G_q = \begin{pmatrix} q_{00} & q_{01} \\ q_{01} & q_{11} \end{pmatrix},$$

коника  $C_{\text{ver}}^\times$  является множеством нулей квадратичной формы

$$D(q) = \det G_q = q_{00}q_{11} - q_{01}^2 \quad (11-3)$$

УПРАЖНЕНИЕ 11.9. Напишите матрицу Грама этой формы в стандартном базисе  $(x_0^2, 2x_0x_1, x_1^2)$ .

### ПРЕДЛОЖЕНИЕ 11.1

Двойственная к  $C_{\text{ver}}^\times$  коника  $C_{\text{ver}} \subset \mathbb{P}_2$  состоит из пар совпадающих точек  $\{a, a\}$  на  $\mathbb{P}_1$ . Полярное преобразование  $\widehat{D}^{-1} : \mathbb{P}_2 \longrightarrow \mathbb{P}_2^\times$  относительно коники  $C_{\text{ver}}$  переводит  $ab \in S^2U$  в квадратичную форму

$$\begin{aligned} q_{ab}(x) &= 2 \det(a, x) \cdot \det(b, x) = \\ &= 2 (a_1b_1 \cdot x_0^2 - (a_0b_1 + a_1b_0) \cdot x_0x_1 + a_0b_0 \cdot x_1^2) \in S^2U^*, \end{aligned} \quad (11-4)$$

которая задаёт на  $\mathbb{P}_2$  прямую, соединяющую точки  $a^2$  и  $b^2$  на  $C_{\text{ver}}$ . При  $b = a$  эта прямая касается  $C_{\text{ver}}$  в точке  $a^2$  и состоит из всевозможных  $ac$  с произвольными  $c \in \mathbb{P}_1$ . Две пары точек  $\{a, b\} \subset \mathbb{P}_1$  и  $\{c, d\} \subset \mathbb{P}_1$  сопряжены как точки на  $\mathbb{P}_2$  относительно коники<sup>1</sup>  $C_{\text{ver}}$  тогда и только тогда, когда они гармоничны<sup>2</sup> друг другу на  $\mathbb{P}_1$ .

ДОКАЗАТЕЛЬСТВО. Обозначим поляризации стандартных базисных форм  $x_0^2, 2x_0x_1, x_1^2$  пространства  $S^2(U^*)$  через

$$\sigma_{00}(x, y) = x_0y_0, \quad \sigma_{01}(x, y) = x_0y_1 + x_1y_0, \quad \sigma_{11}(x, y) = x_1y_1 \quad (11-5)$$

<sup>1</sup>т. е. ортогональны друг другу относительно поляризованного уравнения коники

<sup>2</sup>т. е.  $[a, b, c, d] = -1$

Согласно упр. 11.8, значения этих форм на  $(a, b) \in U \times U$  являются координатами вектора  $ab \in S^2U$  в двойственном базисе  $(e_0^2, e_0e_1, e_1^2)$  пространства  $S^2U$ . Квадратичная форма (11-4) может быть переписана как

$$q_{ab}(x) = 2 (\sigma_{11}(a, b) x_0^2 - \sigma_{01}(a, b) x_0 x_1 + \sigma_{00}(a, b) x_1^2),$$

а её поляризация — как

$$\tilde{q}_{ab}(x, y) = 2 \sigma_{11}(a, b) \sigma_{00}(x, y) - \sigma_{01}(a, b) \sigma_{01}(x, y) + 2 \sigma_{00}(a, b) \sigma_{11}(x, y). \quad (11-6)$$

Тем самым,  $cd \in S^2U$  лежит на прямой  $\text{Ann}(\tilde{q}_{ab})$  когда правая часть (11-6) зануляется. Это условие означает ортогональность векторов  $ab$  и  $cd$  относительно симметричной билинейной формы на  $S^2U$ , матрица Грама которой в базисе  $(e_0^2, e_0e_1, e_1^2)$  имеет вид

$$\begin{pmatrix} 0 & 0 & 2 \\ 0 & -1 & 0 \\ 2 & 0 & 0 \end{pmatrix} = \begin{pmatrix} 0 & 0 & 1/2 \\ 0 & -1 & 0 \\ 1/2 & 0 & 0 \end{pmatrix}^{-1}$$

и обратна к матрице Грама квадратичной формы (11-3), задающей конику Веронезе  $C_{\text{ver}}^\times \subset \mathbb{P}_2^\times$ . Поэтому полярное преобразование относительно конику  $C_{\text{ver}} \subset \mathbb{P}_2$ , двойственной к конику Веронезе, переводит  $ab \in S^2U$  в  $q_{ab} \in S^2U^*$ . Остальные утверждения следуют из того, что поляризация  $\tilde{q}_{ab}(x, y)$  квадратичной формы  $\det(a, x)\det(b, x)$  имеет вид

$$\tilde{q}_{ab}(x, y) = (\det(a, x)\det(b, y) + \det(a, y)\det(b, x))/2. \quad (11-7)$$

Из  $\tilde{q}_{ab}(a, a) = \tilde{q}_{ab}(b, b) = 0$  вытекает, что полярная к  $ab$  прямая  $\text{Ann} q_{ab}$  проходит через  $a^2$  и  $b^2$ . Сама коника  $C_{\text{ver}}$  состоит из точек, лежащих на своих полярах, и условие  $\tilde{q}_{ab}(a, b) = -\det^2(a, b)/2 = 0$  равносильно тому, что  $a = b$ . Касательная к  $C_{\text{ver}}$  в точке  $a^2$  состоит из таких  $cd$ , что  $\tilde{q}_{aa}(c, d) = \det(a, c)\det(a, d) = 0$ . Наконец, условие  $\tilde{q}_{ab}(c, d) = 0$  равносильно равенству  $[a, b, c, d] = (\det(a, c)\det(b, d)) : (\det(a, d)\det(a, c)) = -1$ .  $\square$

### ПРЕДЛОЖЕНИЕ 11.2

Всякий проективный автоморфизм  $F : \mathbb{P}_2 \longrightarrow \mathbb{P}_2$ , переводящий конику Веронезе  $C_{\text{ver}}$  в себя, имеет вид  $ab \mapsto \varphi(a)\varphi(b)$ , где  $\varphi : \mathbb{P}_1 \longrightarrow \mathbb{P}_1$  — гомография, однозначно определяющаяся по  $F$ .

**ДОКАЗАТЕЛЬСТВО.** Проективный изоморфизм  $F$  однозначно задаётся своим действием на какие-нибудь четыре различных точки  $P_i = p_i^2$ ,  $i = 1, 2, 3, 4$ , на кри-вой Веронезе  $C_{\text{ver}}$ . Будем называть *двойным отношением* таких точек двойное отношение их проекций на какую-нибудь прямую  $\ell \subset \mathbb{P}_2$  из какой-нибудь пятой точки  $P \in C_{\text{ver}}$ , отличной от всех четырёх.

УПРАЖНЕНИЕ 11.10. Убедитесь, что это двойное отношение не зависит ни от выбора  $\ell$ , ни от выбора  $P$ .

С другой стороны, двойное отношение точек  $P_i = p_i^2$  на  $C_{\text{ver}}$  равно двойному отношению точек  $p_i$  на  $\mathbb{P}_1$ , поскольку композиция отображения  $\mathbb{P}_1 \longrightarrow C_{\text{ver}}$ , переводящего  $p \in \mathbb{P}_1$  в  $p^2$ , и проекции коники  $C_{\text{ver}}$  из любой её точки на любую прямую  $\ell \subset \mathbb{P}_2$  биективна и задаётся рациональной формулой, а значит, является гомографией из  $\mathbb{P}_1$  в  $\ell$ .

УПРАЖНЕНИЕ 11.11. Убедитесь прямым вычислением, что проекция коники  $a_0a_2 - a_1^2 = 0$  из точки  $(1 : 1 : 1)$  на прямую  $a_1 = 0$ , переводит точку  $(\alpha_0^2 : \alpha_0\alpha_1 : \alpha_1^2)$  в точку  $(\alpha_0 : 0 : \alpha_1)$ .

В силу линейности оператора  $F$ , двойное отношение проекций точек  $P_i$  на прямую  $\ell$  из точки  $P$  равно двойному отношению проекций точек  $F(P_i)$  на прямую  $F(\ell)$  из точки  $F(P)$ . Поэтому по упр. 11.10

$$[P_1, P_2, P_3, P_4] = [F(P_1), F(P_2), F(P_3), F(P_4)].$$

Полагая  $F(P_i) = \{q_i, q_i\}$ , получаем

$$\begin{aligned} [p_1, p_2, p_3, p_4] &= [P_1, P_2, P_3, P_4] = \\ &= [F(P_1), F(P_2), F(P_3), F(P_4)] = [q_1, q_2, q_3, q_4]. \end{aligned}$$

Следовательно, существует гомография  $\varphi : \mathbb{P}_1 \longrightarrow \mathbb{P}_1$ , такая что  $\varphi(p_i) = q_i$  для всех  $i = 1, 2, 3, 4$ , причём эта гомография единственна. Отображение  $S^2\varphi : ab \mapsto \varphi(a)\varphi(b)$  является линейным проективным преобразованием плоскости<sup>1</sup>  $\mathbb{P}_2$ , и т. к.  $S^2\varphi = F$  на четырёх точках, эти операторы равны всюду.  $\square$

УПРАЖНЕНИЕ 11.12. Явно выпишите матрицу  $S^2\varphi$  в базисе  $(e_0^2, e_0e_1, e_1^2)$ , если задана матрица  $\varphi$  в базисе  $(e_0, e_1)$ .

**11.3.1. Гомографии на конике.** Плоскость, на которой задана гладкая коника  $C$ , над алгебраически замкнутым полем продуктивно отождествлять с плоскостью  $\mathbb{P}(S^2U^*)$  неупорядоченных пар точек на прямой  $\mathbb{P}(U)$ , так что коника становится при этом множеством двойных точек  $\{a, a\}$ . Предыдущее (предл. 11.2) показывает, что это отождествление единствено с точностью до проективного автоморфизма плоскости, переводящего конику в себя, и всякий такой автоморфизм индуцируется дробно линейным преобразованием координат на  $\mathbb{P}_1 = \mathbb{P}(U)$ .

В частности, на любой конике  $C$ , как и на прямой, имеются внутренние однородные координаты, единственные с точностью до проективного преобразования. Их можно задать либо отождествив  $C$  с множеством двойных точек  $\{a, a\}$  на  $\mathbb{P}_1$  и объявив однородными координатами точки  $\{a, a\} \in C$  однородные координаты точки  $a$  на  $\mathbb{P}_1$ , либо спроектировав конику на любую прямую

<sup>1</sup>Двойственное преобразование  $S^2\varphi^* : S^2U^* \longrightarrow S^2U^*$  переводит квадратичную форму  $q(x)$  в форму  $q(\varphi^{-1}(x))$ , получающуюся из  $q$  линейной заменой координат, осуществляющей обратным оператором  $\varphi^{-1}$

из любой лежащей на этой коники точки и объявив однородными координатами точки на конике однородные координаты её проекции на прямой. Эквивалентность всех этих определений (с точностью до линейного преобразования координат) уже использовалась нами в доказательстве предложения (предл. 11.2).

Будем называть отображение  $\varphi : C \longrightarrow C$  гладкой коники в себя *гомографией*, если оно осуществляет дробно линейное преобразование внутренних однородных координат на конике. По лемме (предл. 11.2) любая гомография  $\varphi : C \longrightarrow C$  однозначно поднимается до проективного автоморфизма всей плоскости, переводящего конику в себя и индуцирующего на ней гомографию  $\varphi$ . С другой стороны, по лемме (лем. 11.1), любое биективное всюду, за исключением, может быть, конечного множества точек, отображение  $\varphi : C \longrightarrow C$ , которое во внутренних однородных координатах на конике задаётся рациональной формулой вида

$$\varphi(\alpha_0 : \alpha_1) = (f(\alpha_0/\alpha_1) : g(\alpha_0/\alpha_1)), \quad \text{где } f, g \in \mathbb{k}[t],$$

является гомографией. Наконец, для любых двух упорядоченных троек различных точек коники существует единственная гомография, переводящее первую тройку точек во вторую с сохранением порядка.

### ПРИМЕР 11.3 (инволюции)

Нетождественная гомография, обратная самой себе, называется *инволюцией*. Пусть инволюция  $\sigma : C \longrightarrow C$  меняет местами две разных пары точек:  $z' \leftrightarrow w'$  и  $z'' \leftrightarrow w''$ . Прямые  $(z'w')$  и  $(z''w'')$  пересекаются в какой-то точке

$$s = (z'w') \cap (z''w'') \notin C$$

(см. рис. 11◦16). Тогда действие  $\sigma$  на  $C$  высекается пучком прямых с центром в точке  $s$ : точки  $z, w \in C$  переводятся друг в друга инволюцией  $\sigma$  тогда и только тогда, когда прямая  $(z, w)$  проходит через точку  $s$ .

В самом деле, это правило задаёт на  $C$  инволюцию, действие которой совпадает с действием  $\sigma$  на четырёх точках  $z', z'', w', w''$ . В частности мы видим, что над алгебраически замкнутым полем  $\mathbb{k}$  каждая инволюция имеет ровно две различных неподвижных точек<sup>1</sup> — точки касания с  $C$  двух

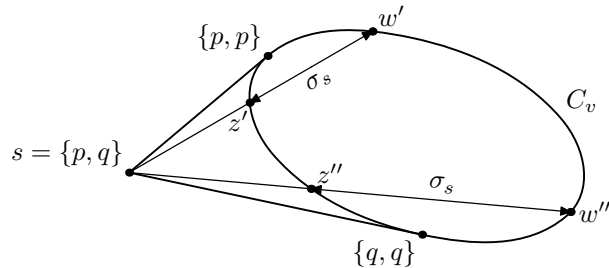


Рис. 11◦16. Инволюция на конике.

<sup>1</sup>поучительно сравнить это геометрическое рассуждение с алгебраическим: инволюция  $\sigma : \mathbb{P}(U) \longrightarrow \mathbb{P}(U)$  индуцируется линейным автоморфизмом  $F : U \longrightarrow U$ , и условие  $\sigma^2 = \text{Id}$  означает, что  $F^2 = \lambda E$  для некоторого ненулевого  $\lambda \in \mathbb{k}$ ; таким образом, оператор  $F$  аннулируется многочленом  $t^2 - \lambda = (t - \sqrt{\lambda})(t + \sqrt{\lambda})$  без кратных корней, и значит, диагонализуем; поскольку  $\varphi \neq \text{Id}$ , оператор  $F$  не скалярен, и значит, имеет ровно два собственных вектора с противоположными собственными значениями  $\pm\sqrt{\lambda}$ .

касательных, опущенных на  $C$  из  $s$ ,  
и две инволюции совпадают тогда и  
только тогда, когда у них одни и те  
же неподвижные точки<sup>1</sup>.

УПРАЖНЕНИЕ 11.13. Покажите, что для любых двух различных инволюций  $\sigma_1, \sigma_2 :$   
 $C_{\text{ver}} \longrightarrow C_{\text{ver}}$  существует ровно одна точка  $z \in C_{\text{ver}}$  такая, что  $\sigma_1(z) = \sigma_2(z)$ .

Мы будем обозначать инволюцию с неподвижными точками  $p, q \in \mathbb{P}_1$  через  $\sigma_{p,q}$ .  
Если отождествить  $C$  с коникой Веронезе  $C_{\text{ver}}$ , то по лемме (предл. 11.1) инволюция  $\sigma_{p,q}$  будет высекаться на  $C_{\text{ver}}$   
пучком прямых с центром в точке  
 $\{p, q\}$ , и равенство  $\sigma_{p,q}(a) = b$  будет  
равносильно гармоничности

$$[a, b, p, q] = -1.$$

УПРАЖНЕНИЕ 11.14. Напишите явную формулу, выражающую координаты точек  
 $p$  и  $q$  через координаты точек  $z', z'', w', w''$  таких что  $\sigma_{pq}(z') = (w')$  и  $\sigma_{pq}(z'') = (w'')$ .

#### ПРИМЕР 11.4 (ПЕРЕКРЁСТНАЯ ОСЬ)

Точно так же, как и в (н° 11.1.2), гомография  $\varphi : C_{\text{ver}} \longrightarrow C_{\text{ver}}$ , переводящая  
три различные точки  $a_1, b_1, c_1 \in C_{\text{ver}}$  в точки  $a_2, b_2, c_2 \in C_{\text{ver}}$  является компо-  
зицией проекции  $\gamma_{b_2} : C_{\text{ver}} \longrightarrow \ell$  и проекции  $\gamma_{b_1} : \ell \longrightarrow C_{\text{ver}}$ , где прямая  $\ell$   
соединяет точки пересечения двух пар перекрёстных прямых  $(a_1, b_2) \cap (b_1, a_2)$   
и  $(c_1, b_2) \cap (b_1, c_2)$  (см. рис. 11◦17). В частности, неподвижные точки  $\varphi$  — это  
точки пересечения  $\ell \cap C_{\text{ver}}$ , откуда вытекает, что прямая  $\ell$  не зависит от выбора  
точек  $a_1, b_1, c_1 \in C_{\text{ver}}$  и что  $\varphi$  имеет либо две неподвижные точки, либо одну (в  
этом случае  $\ell$  касается  $C_{\text{ver}}$  в этой точке).

Таким образом,  $\ell$  представляет собой ГМТ пересечения всех перекрёстных  
прямых  $(z, \varphi(w)) \cap (w, \varphi(z))$  с произвольными различными  $z, w \in C_{\text{ver}}$ . Отметим,  
что даёт новое доказательство теоремы Паскаля (теор. 11.1): три точки  
пересечений пар противоположных сторон вписанного в  $C_{\text{ver}}$  шестиугольника  
 $a_1c_2b_1a_2c_1b_2$ , будучи точками пересечений перекрёстных прямых гомографии,  
переводящей  $a_1, b_1, c_1$  в  $a_2, b_2, c_2$ , лежат на её перекрёстной оси  $\ell$ .

---

<sup>1</sup>дайте алгебраическое доказательство этому факту

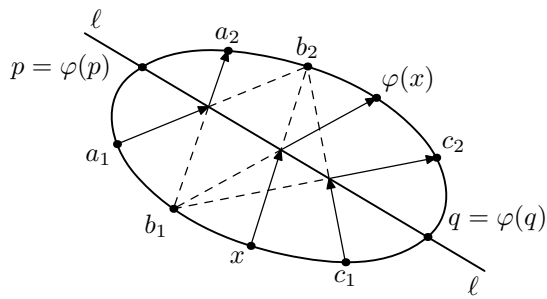


Рис. 11◦17. Перекрёстная ось.

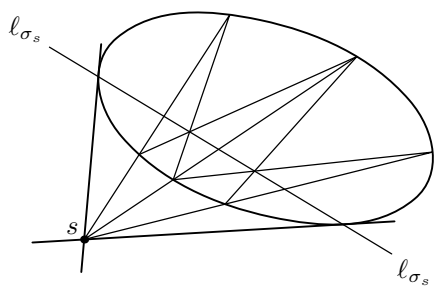


Рис. 11◦18. Построение касательных.

Отметим, что перекрёстная ось гомографии  $\varphi : C \longrightarrow C$ , заданной своим действием на какие-нибудь три точки, легко строится одной линейкой. Это позволяет одной линейкой построить образ  $\varphi(z)$  любой точки  $z \in C$  относительно такой гомографии, а также найти её неподвижные точки.

Например, можно одной линейкой начертить две касательных к данной гладкой конике  $C$  из данной точки  $s \in \mathbb{P}_2$  — это будут две прямые, соединяющие  $s$  с неподвижными точками инволюции  $\sigma_s : C \longrightarrow C$ , высекаемой пучком прямых с центром в  $s$ . Чтобы найти эти неподвижные точки (см. рис. 11◦18), проведём через  $s$  любые три секущих и начертим перекрёстную ось  $\ell_{\sigma_s}$  инволюции  $\sigma_s$ . Точки пересечения  $\ell_{\sigma_s} \cap C$  будут искомыми точками касания.

**УПРАЖНЕНИЕ 11.15.** Одной линейкой постройте касательную к данной конике  $C$  в данной точке  $p \in C$ .

**УПРАЖНЕНИЕ 11.16.** На  $\mathbb{P}_2$  заданы невырожденная коника  $Q$  и три точки  $A, B, C$  вне неё. При помощи одной линейки нарисуйте треугольник, который вписан в  $Q$ , а его стороны лежат на прямых, проходящих через  $A, B, C$ . Сколько решений имеет эта задача?

Начнём наивное построение из произвольной точки  $p \in Q$  и обозначим через  $\gamma(p) \in Q$  точку, куда мы вернёмся, пройдя через  $A, B, C$ . Получающееся таким образом отображение  $\gamma : C \longrightarrow C$  является гомографией, и нас интересуют её неподвижные точки. Таковых имеется две, и их построение линейкой стандартно.

**УПРАЖНЕНИЕ 11.17.** Сформулируйте и решите задачу, двойственную к предыдущей.